

论著

The Application Value of Multimodal Technology in Reducing the Radiation Dose of Multi-Slice Spiral CT Coronary Angiography in Overweight and Obese Patients*

HU Xiao-lu, HUANG Pei-kai, ZHANG Meng, LIU Jing-feng, CHEN Yan-xia, HE Tao, CHEN Jun, XIAO Meng-qiang*.

Department of Imaging, Zhuhai Hospital, Guangdong Provincial Hospital of Traditional Chinese Medicine, Zhuhai 519015, Guangdong Province, China

ABSTRACT

Objective To explore the value of multi-modality technology, a joint iterative reconstruction technique with a narrow acquisition window, isocenter, low tube voltage, and low tube current, in reducing the radiation dose in multi-slice spiral computed tomography coronary angiography (MSCTCA) in overweight and obese patients. **Methods** 64 overweight and obese patients ($BMI > 25 \text{ kg/m}^2$) who underwent MSCTCA from November 2020 to August 2021 at Zhuhai Hospital of Guangdong Provincial Hospital of Traditional Chinese Medicine were collected in a prospective randomized controlled study and randomly divided into the multi-modality-normal group (group A) and conventional-normal group (group B), 32 cases each. The parameters in the A groups were isocentric scan, tube voltage of 80 kV, tube current control using 80% "smart milliamperes", and maximum current between 60% and 80% of the RR interval. The parameters in the B groups were normal position, tube voltage of 100 kV, tube current control using smart milliamperes, and maximum current ranging from 30% to 80% of the RR interval. The Computed Tomography dose index volume (CTDvol), dose length product (DLP), effective radiation dose (ED), objective image quality (IQ), noise, signal-to-noise ratio (SNR), contrast signal-to-noise ratio (CNR), and subjective 5-point Likert scale IQ scores of MSCTCA images were compared among the two groups. **Results** The EDs of groups A and B were $(1.43 \pm 0.46) \text{ mSv}$ and $(5.44 \pm 1.33) \text{ mSv}$ respectively, in addition, the variations in CTDvol, DLP, and ED between groups A and B were statistically significant ($P < 0.01$). The results suggested that noise, SNR, and CNR of groups A were better than those of group B ($P < 0.01$). The subjective quality scores of the A and B groups were 4.37 ± 0.69 and 4.40 ± 0.67 , indicating the difference was not statistically significant ($P = 0.46$) and the subjective score consistency ICC was better ($ICC = 0.78, 0.97$). The total rate of excellent and good coronary subjective scores in the two groups was greater than 92.18%, and the evaluable blood vessels exceeded 98.62%. There was no difference in the effectiveness of diagnosing high-risk plaques between groups A and B ($P < 0.01$). **Conclusions** The multi-modal technology could reduce the radiation dose of MSCTCA scan in overweight and obese patients while clinical diagnostic needs were met.

Keywords: Obesity; Coronary Artery; Multimodal Technology; CT

多层螺旋冠状动脉CT成像(multislice spiral computed tomography coronary angiography, MSCTCA)在过去的二十年中显示巨大的技术进步, MSCTCA诊断冠状动脉狭窄具有高敏感性、特异性, 目前是冠心病首选的非侵袭性检查方法^[1]。心血管不良事件的发生, 与冠状动脉粥硬化高危斑块密切相关^[2], 高危斑块分为四类: 点状钙化(spotty calcification, SPC)、正性重构(positive remodeling, PR)、低密度斑块(low attenuation plaque, LAP)、“餐巾环征”(napkin-ring sign, NRS)^[3]。MSCTCA在发现冠状动脉中-重度狭窄方面的高准确性, 促进了MSCTCA在怀疑冠状动脉疾病患者检查中替代传统有创冠状动脉造影^[4]。根据美国1991年至1996年收集的数据, CT辐射剂量造成的恶性肿瘤占所有恶性肿瘤的0.4%^[5]。冠状动脉MSCTCA辐射较高, 已成为关注的焦点^[6]。

随着计算机技术的发展, 已有多种减低辐射剂量措施, 如前瞻性心电门控技术、迭代重建技术、个性化扫描技术、智能毫安技术等^[6-7]。随着高档CT机器的诞生, 低管电压扫描已在MSCTCA中开始运用^[1, 8-9], 如何进一步降低MSCTCA的辐射剂量是当前亟待解决的问题。近年来少数字学者利用西门子双源CT、GE宝石CT采用管电压80kV、管电流采用自动毫安, 明显可减低MSCTCA辐射剂量^[10-12]。

等中心扫描原理: CT设计时, 射线束的投射被定义在CT机架的中心位置, 多层螺旋CT的射线束呈锥形, 球管及探测器扫描运动中机架孔中心位置接受的射线多, 图像质量好, 当扫描部与机架空中心一致时称为等中心^[13](图1)。

本研究通过对超重、肥胖怀疑冠心病患者进行窄采集窗、低管电压、低管电流及等中心(多模态影像技术)或常规MSCTCA, 扫描后采用迭代重建技术重建图像, 比较两种扫描方法的图像质量、辐射剂量和诊断高危斑块的准确性, 探讨多模态技术在降低MSCTCA中辐射剂量的可行性。

多模态技术对降低肥胖患者冠脉CTA辐射剂量的应用*

胡小露 黄培楷 张萌
刘金丰 陈妍黠 何涛
陈俊 肖梦强*

广东省中医院珠海医院影像科
(广东 珠海 519015)

【摘要】目的 多模态技术为窄采集窗、等中心、低管电压、低管电流联合迭代重建技术, 探讨多模态技术在降低超重、肥胖患者多层螺旋CT冠状动脉血管成像(MSCTCA)辐射剂量中的价值。**方法** 收集广东省中医院珠海医院2020年11月至2021年8月行MSCTCA检查64例超重、肥胖患者($BMI > 25 \text{ kg/m}^2$), 采用前瞻性随机对照研究, 随机分多模态组(A组)、常规组(B组), 各32例。A组:等中心位置、管电压80kV、智能毫安的80%, 心动PR周期的60%~80%; B组:常规位置, 管电压100kV、电流为智能毫安, 心动PR周期的30%~80%。比较A、B组容积CT剂量指数(CTDvol)、剂量长度乘积(DLP)、辐射剂量(ED)、MSCTCA图像的客观图像质量指标: 噪声、信噪比(SNR)、对比信噪比(CNR)及Likert 5分主观质量评分。**结果** A、B组的ED分别为 $(1.43 \pm 0.46) \text{ mSv}$ 、 $(5.44 \pm 1.33) \text{ mSv}$; A、B两组CTDvol、DLP、ED差异有统计学意义($P < 0.01$)。A、B两组噪声、SNR、CNR, 后者优于前者($P < 0.01$)。A、B两组主观质量评分 4.37 ± 0.69 分、 4.40 ± 0.67 分, 差异无统计学意义($P = 0.46$), 主观评分一致性ICC较好($ICC = 0.78, 0.97$)。两组冠状动脉主观评分优秀、良好总和率 $\geq 92.18\%$, 可评价血管 $\geq 98.62\%$ 。A、B两组诊断高危斑块的效果无差别($P < 0.01$)。**结论** 在满足临床诊断需求情况下, 多模态技术能降低超重、肥胖患者MSCTCA的ED。

【关键词】 肥胖; 冠状动脉; 多模态技术; CT
【中图分类号】 R445.3

【文献标识码】 A

【基金项目】 珠海市医学科研基金
(ZH331020001PJL)

DOI:10.3969/j.issn.1672-5131.2022.11.032

【第一作者】 胡小露, 女, 主管技师, 主要研究方向: 骨肌影像学。E-mail: 502435924@qq.com

【通讯作者】 肖梦强, 男, 副主任医师, 主要研究方向: 骨肌影像学。E-mail: 714454688@qq.com

1 资料与方法

1.1 一般资料 本研究为前瞻性研究, 经广东省中医院伦理委员会批准(BF2020-229-01), 患者签署了书面知情同意书。收集2020年11月至2021年8月期间临床怀疑患有冠心病患者。

病例纳入标准: 年龄 ≥ 18 岁, 心率 <70 次/分, 体重数BMI $\geq 25\text{kg}/\text{m}^2$ 。排除标准: 心脏起搏器患者, 呼吸伪影较重患者, 扫描范围内有金属内固定患者, 造影剂、倍他乐克过敏患者, 心脏肿瘤病史及心脏手术病史。

1.2 MSCTCA检查方法 所有病例均采用佳能320排动态CT(Aquilion One; canon, Otawara, Japan)前瞻性心电门控技术。扫描范围以心脏下缘为起点, 向上延伸140mm。A组管电压80kV, 管电流智能毫80%(根据人体定位图自动计算患者的管电流, 称为智能毫安, 等中心扫描, 仰卧位躺, 身体向右侧移位, 扫描前行超声检查在体表标出心脏最左、最右缘, 沿心脏最左、最右缘做垂线, 以两垂线的中心线作为垂直定位线, 水平定位线为腋中心, 扫描心动PR周期的60%~80%; B组电压100kV、电流智能毫安, 常规方法扫描; 自然仰卧位, 定位(水平定位线为通过腋中心水平线, 垂直定位线为正中线), 扫描心动PR周期的30%~80%, 见表1)。

1.3 扫描前准备 检查前静息状态下测量心率和血压, 患者心率 >70 次/分, 给予倍他乐克(25~100)mg。测量体重、身高, 计算BMI, BMI $\geq 25\text{ kg}/\text{m}^2$ 患者随机分到A、B组。

1.4 辐射剂量 记录每例机器自动生成容积CT剂量指数(computed tomography dose index volume, CTDvol, mGy), 容积CT剂量(dose length product, DLP, mGy \times cm), 有效剂量(effectivedose, ED, mSv)=DLP $\times k$, $k=0.014\text{mSv}\cdot\text{mGy}\cdot\text{cm}^{-1}$ (欧盟委员会关于CT的质量最新标准指南)^[12](表1)。

1.5 图像处理及分析 MSCTCA检查完成后, 均采用第四代迭代重建CT图像, 层厚、层距均为0.5mm, 矩阵为256 \times 256。将图像传至佳能CT工作站(Vitrea FX3.0), 采用多平面重组(multiplaner reformatting, MPR)、容积再现(volume rendering, VR)、最大强度投影(maximum intensity projection, MIP)、曲面重组(curve planar reformatting, CPR)技术进行图像

重组。

客观评价^[14]: 具13年(PK H)心血管工作经验的CT诊断医生测量增强后层厚、层距均为0.5mm横断面图像。测量主支气管CT值及标准差(standard deviation, SD), 感兴趣区(area of interest, ROI), ROI=15mm²。测量升主动脉(ascending aorta, AA)根部、左冠状动脉主干(left main coronary artery, LM)和右冠状动脉(right coronary artery, RCA)近端的CT值^[1, 15], ROI尽可能扩大, 同时排除血管壁钙化或非钙化斑块和伪影。测量冠状动脉邻近脂肪的CT值, ROI=15mm²。以上测量值取三个不同层面测量, 取其平均值, 以确保数据的一致性。

主观图像质量评分: 根据美国心脏病协会制订的冠状动脉分支^[1, 15], 由具有18年(MQ X)和13年(PK H)心血管工作经验的CT诊断医生对直径1.5mm以上的冠状动脉进行独立评价, 两人意见不一致时, 协商达成一致意见。使用Likert五分评分法^[16-17]: 5=优秀(血管壁轮廓清晰光滑, 无条纹或放射状伪影), 4=良好(轮廓轻微不规则, 条纹或放射状伪影较少), 3=一般(血管壁轮廓模糊不规则, 有大量条纹或放射状伪影), 2=差(血管壁变形和许多伪影), 1=非常差(血管壁明显变形和大量伪影); 分数为3-5的图像满足诊断评估的要求(图2)。

斑块判读: 具13年(PK H)和18年(MQ X)心血管工作经验判断斑块并测量斑块, 高危斑块(HRP)特征如点状钙化(spotty calcification, SPC)、正性重构(positive remodeling, PR)、低密度斑块(low attenuation plaque, LAP)、“餐巾环征”(napkin-ring sign, NRS), 不一致商量觉得; 测量斑块体积(佳能工作站ADW4.4), 各测量三次, 取其6次平均值。

1.6 统计学分析 应用SPSS 26.0进行数据分析。两组性别差异采用Kappa检验; 计量资料采用均数土标准差表示, 方差齐比较采用ANOVA检验, 方差不齐采用Tamhane's T₂检验, 以P<0.05为差异有统计学意义。Likert评分采用秩和检验, 以P<0.05为差异有统计学意义。对检测高危斑块采用Kappa检验, 以P<0.05为差异有统计学意义。2名医师对图像质量评分的一致性分析采用ICC检验, 通过计算组内相关系数(ICC)来评估主观图像质量信度, ICC>0.70表示有足够的重测信度。

表1 两组患者基本特征和辐射剂量

组(n)	性别(F/M)	年龄(年)	BMI(kg/m ²)	CTDvol(mGy)	DLP(mGy \times cm)	ED(mSv)
A(n=32)	13/19	59.35 \pm 9.84	26.83 \pm 1.36	7.28 \pm 2.33	101.79 \pm 32.51	1.43 \pm 0.46
B(n=32)	9/23	54.15 \pm 11.46	27.50 \pm 1.67	26.67 \pm 7.14	388.40 \pm 95.18	5.44 \pm 1.33
F/K	K=0.13	F=3.00	F=3.21	F=259.66	F=213.33	F=259.87
P	0.29	0.09	0.08	0.00	0.00	0.00

表2 两组CT扫描参数

组	常规组	多模态组
管电压(kV)	100	80
管电流(mA)	自动毫安	80%自动毫安
显示视野(mm)	220	220
旋转时间(s)	0.275	0.275
层厚(mm)	0.5	0.5
层间距(mm)	0.5	0.5
扫描周期	30%~80%	60~80%
扫描体位	常规	等中心
扫描长度(mm)	140	140

2 结果

A组32人, 59.35 \pm 9.84岁, 男女分别19、13例; B组32人, 54.15 \pm 11.46岁, 男女分别23、9例。两组性别、年龄、BMI无统计学意义(P=0.08-0.29, 见表1)。

A、B组的ED分别为(1.43 \pm 0.46)mSv、(5.44 \pm 1.33)mSv,

差别有统计学意义(P<0.01, 见表1)。

A、B组噪声、SNR、CNR后者优于前者(P<0.01)。A、B组AA根部CT值前者高于后者(P=0.01), LM主干、RCA近端CT值前者高于后者, 无统计学意义(P>0.05)。

共886段潜在的可评估段, 因为直径<1.5mm或闭塞, A组45

段和B组的29段被认不可评估。A、B组主图像质量评分平均分数分别为为 4.37 ± 0.69 分(图3)、 4.40 ± 0.67 分，A、B组分别优秀率47.13%、48.78%，良好45.06%、44.12%，两者总和92.18%、92.90%，可评估率98.39%、99.11%；两两评分间差异均无统计学($P=0.46$)，各段评分见表4。主观图像的观察者间一致性四组的均被认为“非常好”($ICC=0.78, 0.97$)。

斑块结果：两组均为测量到NRS斑块。A组SPC、PR、LAP分别为4、6、15；B组SPC、PR、LAP分别为4、5、20，A、B组间鉴别高危结节差异无统计学意义($P=0.67$)。A、B组斑块体积分别为 $61.83 \pm 54.75 \text{ mm}^3$ 、 $39.22 \pm 29.53 \text{ mm}^3$ ，差异无统计学意义($P=0.08$)。

表3 两组患者主动脉、冠状动脉根部CT值及客观图像质量对比

组(n)	AA(HU)	RCA(HU)	LM(HU)	噪声	SNR	CNR
A(n=32)	585.16 ± 99.26	516.08 ± 86.32	524.23 ± 72.01	21.4 ± 10.65	55.44 ± 18.15	33.71 ± 11.69
B(n=32)	515.45 ± 97.52	486.02 ± 102.55	490.16 ± 95.33	14.21 ± 2.76	70.25 ± 14.12	42.71 ± 10.44
F	8.03	1.61	2.60	13.26	13.83	10.54
P	0.01	0.21	0.11	0.00	0.00	0.00

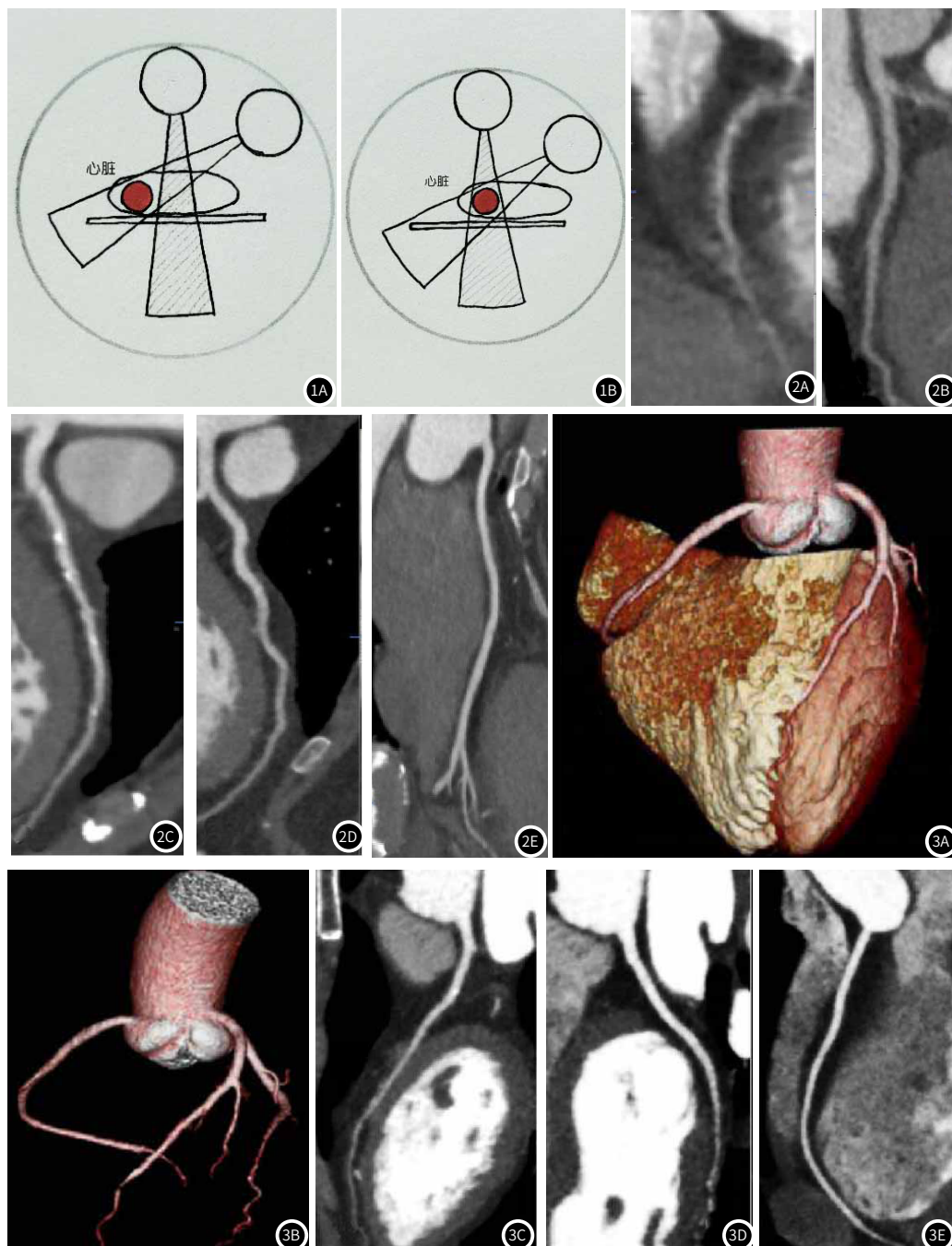


图1 图1A常规位置、图1B等中心位置。**图2** 图2A~图2E图，李克特评分分别1~5分。**图3** 57岁女性，管电压80kV，管电流220mA；图3A：心脏VR图；图3B：血管VR图；图3C：左冠状动脉前降支，评分近段5分，中段3分，远段4分；图3D：左冠状动脉回旋支，评分近段5分，中段4分，远段3分；图3E：图右冠状动脉，评分均5分。

表4 两组主观图像质量评分及各评分段数对比

组	总段数	5分	4分	3分	2分	1分	平均分数
A	435	205(47.13%)	196(45.06%)	28(6.44%)	6(1.38%)	1(0.23%)	4.37±0.69
B	451	220(48.78%)	199(44.12%)	28(6.21%)	2(0.44%)	2(0.44%)	4.40±0.67
F							0.54
P							0.46

3 讨 论

过去40年中，全球肥胖率几乎增加了两倍，迄今为止，全球超过三分之一的人口超重或肥胖，肥胖患者冠状动脉粥样硬化发生率明显高于非肥胖患者^[18]。肥胖患者越来越多，肥胖患者患冠心病的比例较正常人更高，肥胖患者正常辐射剂量MSCTCA，图像质量明显下降，并可造成诊断准确率降低^[18]。肥胖患者MSCTCA辐射剂量较高，许多学者采用各种方法降低MSCTCA辐射剂量^[18, 16-20]，降低比例在43%-68%之间，辐射剂量降至约为(1.61-3.28)mSv。本研究A、B组ED分别为(1.43±0.46)mSv、(5.44±1.33)mSv，降低比例为73.71%。与B组对比，A组主观质量评分无差别，A组优秀率、良好率总和高达92.18%，评估血管高达98.39%。与B组对比，A组制定高危结节的能力无差别，测量斑块体积无差别。采用多模态技术，明显降低了MSCTCA的ED，能够满足临床诊断需求。

本团队^[13]前期利用同台CT机器研究显示，心率≤70次/分钟，BMI正常患者，不降低图像质量前提下，等中心MSCTCA辐射剂量降低约20%，平均辐射剂量为2.58mSv，但仍明显高于多模态技术肥胖患者MSCTCA辐射剂量1.42mSv。彭睿^[21]等采用佳能320排(Aquilion ONE, 佳能, Japan)MSCTCA检查，心率≤70次/分钟，扫描70%-80%心动周期与心动周期的整个RR间期相比，约降低43%辐射剂量，而本研究多模态技术可使剂量降低73.71%。张卓璐^[22]等采用256MDCT(Revolution CT, GE, Healthcare)MSCTCA检查，心率≤70次/分钟，扫描70%-80%心动周期与心动周期的整个RR间期相比，约降低56%辐射剂量。申太忠等^[17]团队采用佳能320排单纯利用低管电压(70kv)降低辐射剂量，心率≤80次/分钟，BMI正常，ED高达3.28mSv。有学者^[10-11]研究采用管电压80kv MSCTCA扫描，辐射剂量平均约为(1.76±0.43)mSv-(2.72±0.50)mSv，高于本研究的1.42mSv，同时伴随着图像质量下降。

低管电压MSCTCA扫描，虽然降低辐射剂了，但是图像质量也随着降低；等中心MSCTCA扫描在不改变CT参数情况下，可以提高图像质量，具有继续降辐射剂量低的空间；窄采集窗技术只是单纯减少扫描时间，CT参数相同情况下，图像质量无改变。上述单一技术在降低辐射剂量方面幅度有限，且对肥胖患者冠脉CTA图像质量有较明显的影响。模态技术结合缩短扫描时间，其中等中心和低管电压MSCTCA扫描优缺点互补，较单一技术，不影响诊断效果情况下，可以大幅度降低MSCTCA辐射剂量。

本研究存在的不足之处：(1)入选病例均为心率<70次患者；(2)仅根据血管壁轮廓清晰光滑程度，主观评价冠状动脉图像质量，未与金标准DSA对比，明确其判读狭窄程度的准确性。

综上所述，多模态技术MSCTCA操作不复杂，超重、肥胖患者利用多模态技术行MSCTCA检查，图像质量满足临床诊断需求的前提下，能够显著降低辐射剂量。

参考文献

- [1] Chong-Fu, Jia, Jie, et al. Image quality and diagnostic value of ultra low-voltage, ultra low-contrast coronary CT angiography[J]. Eur Radiol, 2019, 29 (7): 3678-3685.

- [2] 张迪瑞, 何路平, 于波. 腔内影像学对冠状动脉易损斑块的识别与治疗最新进展[J]. 中国介入心脏病学杂志, 2021, 29 (9): 520-522.
- [3] 郑璇, 沈海林, 李振凯, 等. 640层动态容积CTA两种分类方法对冠状动脉斑块稳定性评价的对比研究[J]. 临床放射学杂志, 2018, 37 (3): 414-418.
- [4] Pwsa B, Hha C, Garg D S, et al. Coronary computed tomographic angiography for complete assessment of coronary artery disease: JACC state-of-the-art review[J]. J Am Coll Cardiol, 2021, 78 (7): 713-736.
- [5] Ron, E. Cancer risks from medical radiation. Health Phys, 2003, 85 (1): p. 47-59.
- [6] 沈梓璇, 肖梦强, 刘金丰, 等. 等中心扫描联合AIDR3D重建在降低CCTA成像辐射剂量中的应用价值[J]. 蚌埠医学院学报, 2021, 46 (2): 239-243.
- [7] Tang S, Zhang G, Chen Z, et al. Application of prospective ECG-gated multiphase scanning for coronary CT in children with different heart rates[J]. Jpn J Radiol, 2021.
- [8] Apfaltter G, Albrecht M H, Schoepf U J, et al. High-pitch low-voltage CT coronary artery calcium scoring with tin filtration: accuracy and radiation dose reduction[J]. Eur Radiol, 2018, 28 (7): 3097-3104.
- [9] Zhang W, Ba Z, Wang Z, et al. Diagnostic performance of low-radiation-dose and low-contrast-dose(double low-dose)coronary CT angiography for coronary artery stenosis[J]. Medicine, 2018, 97 (34): 6.
- [10] Cha M J, Kim S M, Ahn T R, et al. Comparing feasibility of low-tube-voltage protocol with low-iodine-concentration contrast and high-tube-voltage protocol with high-iodine-concentration contrast in coronary computed tomography angiography[J]. PLoS One, 2020, 15 (7): e0236108.
- [11] Li R F, Hou C L, Zhou H, et al. Comparison on radiation effective dose and image quality of right coronary artery on prospective ECG - gated method between 320 row CT and 2nd generation (128 - slice) dual source CT[J]. Journal of Applied Clinical Medical Physics, 2020, 21 (8): 256-262.
- [12] Liu K, Diao K, Hu S, et al. Achieving low radiation dose in "one-stop" myocardial computed tomography perfusion imaging in coronary artery disease using 16-cm wide detector CT[J]. Academic Radiology, 2020, 27 (11): 1531-1539.
- [13] 肖梦强, 沈君, 刘金丰, 等. 等中心扫描降低多层螺旋CT冠状动脉血管成像辐射剂量的随机对照研究[J]. 中华解剖与临床杂志, 2019, 24 (2): 145-149.
- [14] 陈文萍, 尹克杰, 李茗, 等. 利用虚拟平扫降低冠状动脉CT血管造影辐射剂量的可行性研究[J]. 中华放射医学与防护杂志, 2022, 42 (1): 61-66.
- [15] Chen B, Zhao S, Gao Y, et al. Image quality and radiation dose of two prospective ECG-triggered protocols using 128-slice dual-source CT angiography in infants with congenital heart disease[J]. Int J Cardiovasc Imaging, 2019, 35 (5): 937-945.
- [16] Butt N, Parajuli S, Ali L, et al. Comparison of coronary computed tomography angiography leiden score between overweight and obese patients[J]. Journal of Cardiovascular Computed Tomography, 2020, 14 (3): S45.
- [17] 申太忠, 李宝, 谢灵争, 等. 超低剂量宽探测器CT扫描模式在冠状动脉CTA检查患者中的应用价值[J]. 河北医科大学学报, 2022, 43 (2): 203-207.
- [18] Hsueh Y, Yeh T L, Lin C Y, et al. Association of metabolically healthy obesity and elevated risk of coronary artery calcification: a systematic review and meta-analysis[J]. PeerJ, 2020, 8: e8815.
- [19] 杜静波, 任阿红, 李振武, 等. 80kVp管电压冠状动脉CTA联合ASiR-V图像重建用于超重和I级肥胖患者的可行性[J]. 中国介入影像与治疗学, 2020, 17 (5): 289-293.
- [20] 王宏伟, 李琪, 高一峰, 等. 深度学习图像重建算法用于肥胖个体低剂量冠状动脉CT血管成像[J]. 中国医学影像技术, 2021, 37 (5): 754-758.
- [21] 彭睿, 方正, 陈金华, 等. 缩窄320排CT冠状动脉成像采集时间窗的可行性[J]. 中国医学影像技术, 2020, 36 (3): 460-463.
- [22] 张卓璐, 李少朕, 洪楠, 等. 采集时间窗对冠状动脉CT图像质量及辐射剂量的影响[J]. 临床放射学杂志, 2019 (2): 338-341.

(收稿日期: 2022-07-17)

(校对编辑: 何镇喜)